Տեխնիկական գիտ, սեբիա

XXXIII, № 2, 1980

ерия их инс. наук

ЭЛЕКТРОТЕХНИКА

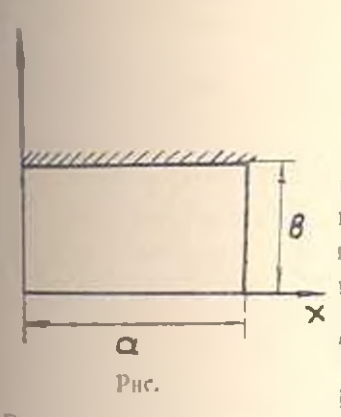
г. д. артемян, а. а. пскандарян

К ВОПРОСУ О ДИПАМИЧЕСКОЙ ПРОЧНОСТИ ХИХЭЭРИЧТЯЭКЕ ПИНАВОНОО ХЮПЧОПО МАШИН МАЛОИ ПОПИОСТИ

Корпуса электрических машии (ЭМ) имеют два специальных опорных основания (дапы), при номощи которых они устанавливаются в различных механизмах и агрегатах. В процессе работы в ЭМ возникает спектр силовых импульсов периодического и непериодического характера. Внешняя среда дополнительно накладывает вибрационные нагрузки в широком дианазоне частот (до 1000 Гц) и ускорений (до 150 g).

Опорные основания ЭМ являются элементами, которые непосредственно воспринимают вибронагрузки экоплуатационной среды. Виброакустическое и прочностное состояния ЭМ во многом зависят из частот собственных колебаний (ЧСК) опорных оснований. На этапе конструнрования ЭМ расчетная оценка вибропрочности ЧСК опорных оснований, как правило, не выполняется. Это объясняется отсутствием достаточно жестких требований по уровню собственных виброний ЭМ и большим запасом прочности этого узла к воздействию вибрационных пагрузок, С другой сторовы, в настоящее время в СССР и за рубежом, показателям материалоемкости, шума и вибрации придается весьма сушественное значение при оценке общего технического уровня ЭМ. Текленция синжения этих показателей выдвигает задачи уменьшения вибрационной активности и максимального использования конструкционных запасов прочности основных уэлов Э.М. Решение этих задач, в первую очередь, реализуется на этапе конструпрования машин и оно связано с разработкой соответствующих расчетных методик. Последине также необходимы для оценки вибропрочности элементов на стадии проектирования ЭМ.

Попытка применения известных расчетных схем колебаний прямоугольных пластинок [1-4] для теоретической оценки выбропрочности ЧСК перных оснований ЭМ не привела к положительным результатам: расчетные значения ЧСК на 60 — 80% отличались от данных экспериментов. Наиболее приемлемой, с точки эрения гочности практического применения, оказалась схема представления опорных основания ЭМ в виде прямоугольной пластинки с одини защемлениым, двумя свободно опертыми и одили свободным краями (рис.). Располатоя оси X и Y в средниной илоскости пластники, а ось Y ваправляя вертикально, уравнение колебания каждого опорного основания авиниется в виде:



$$\frac{\partial^{4}W}{\partial x^{4}} = 2 \frac{\partial^{4}W}{\partial x^{2}\partial y^{2}} + \frac{\partial^{4}W}{\partial y^{4}} + \frac{\partial^{4}W}{\partial y^{4}} + \frac{\partial^{4}W}{\partial x^{2}\partial y^{2}} + \frac{\partial^{4}W}{\partial y^{4}} + \frac{\partial^{4}W}{\partial$$

гле $q=A\sin\omega t$ — нагрузка на единицу поверхности пластинки; ω — частота внешней силы; $W\left(x,\,y,\,t\right)$ — отклонение точки $\left(x,\,y\right)$ от положения равновесия; $h,\,D=\frac{Eh^3}{12\left(1-v\right)^2}$ — толщина и цилиндрическая жесткость пластинки.

Решение уравнения ищем в виде:

$$W(x, y, t) = \sum_{n=1}^{\infty} \left| A_n \operatorname{ch} - \frac{1}{a} a_{1n} + K_n \operatorname{sh} - \frac{y}{a} a_{1n} + C_n \operatorname{sh} - \frac{y}{a} a_{2n} + \cdots \right|$$

$$+ D_n \operatorname{ch} - \frac{y}{a} a_{2n} + K_n \left| - \operatorname{sin} - \frac{n-x}{a} \operatorname{sin} \operatorname{w} t \right|, \tag{2}$$

$$a_{1s} = \frac{1}{n^3\pi^2 - 3}; \quad a_{2n} = \frac{1}{n\pi^2 - 3}; \quad K_n = \frac{Aa^4 (\cos n\pi - 1)}{Dn^2 (n^4 - 3)}; \quad 3^2 = \frac{a_{1s} - a_{2s}}{D}.$$
(3)

 B_n ффициенты A_n , B_n , C_n и D_n определяются из граничных условий:

$$\frac{\partial^{2} W}{\partial x^{2}} + v \frac{\partial^{2} W}{\partial y^{2}} = 0, \quad W(x, y, t) = 0, \text{ при } x = 0 \text{ н. } x = a;$$

$$\frac{\partial W}{\partial t} = W(x, y, t) = 0, \quad \text{при } y = b;$$
(4)

$$v \frac{\partial^3 W}{\partial x^2} + \frac{\partial^2 W}{\partial y^2} = 0$$
, $\frac{\partial^3 W}{\partial x^2 \partial y} (2-v) - \frac{\partial^3 W}{\partial y^3} = 0$ при $y = 0$

в имеют вид:

$$A = K_n \frac{1}{-2\alpha_{1n} \alpha_{2n} [3 - n - (1 - v)] - 2\alpha_n [3 - n - (1 - v)]} - 2\alpha_{1n} \alpha_{2n} [3 - n - (1 - v)] + \frac{1}{2\alpha_{1n} \alpha_{2n} [3 - n - (1 - v)]}$$

$$\frac{|x_1 - x_n| \cosh |\mu_{2n} + |\alpha_{2n}| \sinh |\mu_{1n}| \sinh |\mu_{2n}|}{-|x_n|^2 + |\alpha_{2n}|^2 +$$

$$\begin{array}{c} < (1-\nu)] \; \mathrm{ch} \; \mu_{1n} + \left[\frac{2}{r^2} - n \cdot \pi \cdot (1-\nu) \right] \; \mathrm{ch} \; \alpha_{1n} \\ + \left[1 + n + (1-\nu) \right]^2 \; \alpha_{1n} \; (-\alpha_{2n} \; \mathrm{ch} \; \mu_{1n} \; \mathrm{ch} \; + \alpha_{1n} \; \mathrm{sh} \; \alpha_{1n} \; \mathrm{sh} \; \mu_{1n} \right] \; . \end{array} \; .$$

$$B = K \frac{[3-n^2\pi^{-}(1-\nu)] + n^2\pi^{-\nu} [x_{2n} \sinh \mu_{2n} \cosh \mu_{1n} - \alpha_{1n} \cosh \mu_{2n} \sinh \mu_{1n}]}{-2 + \alpha_{1n} [\beta + n^{2m} (1-\nu)][\beta - n^{-m} (1-\nu)] +}$$



FRE $\mu_{1n} = \sigma_{1n} + \frac{b}{a}$ If $\mu_{2n} = \sigma_{2n} + \frac{b}{a}$.

Изгибающие напряжения будут:

$$a_{1} = \frac{1}{h^{2}} \sin \omega t \sum_{n=1}^{\infty} \sin \frac{1}{\alpha} \left\{ \frac{1}{\alpha^{2}} \left[A_{n} \cosh \gamma_{1n} + B_{n} \sinh \gamma_{1n} \right]^{\frac{1}{2}} + \frac{n^{2}\pi^{2} \left(v - 1 \right) + \frac{n^{2}}{\beta^{2}} \left[C_{n} \sinh \gamma_{2n} + D_{n} \cosh \gamma_{2n} \right] - \frac{n^{2}\pi^{2}}{\alpha^{2}} \right\}$$

$$a_{2} = \frac{6D}{h^{2}} \sin t \sum_{n=1}^{\infty} \sin \frac{n\pi x}{\alpha} \left[\frac{n^{2}\pi^{2} \left(v - 1 \right) - \frac{3}{2}}{\alpha^{2}} \left[A_{n} \cosh \gamma_{1n} - B_{n} \sinh \gamma_{1n} \right] + \frac{n^{2}\pi^{2} \left(v - 1 \right) - \frac{3}{2}}{\alpha^{2}} \right]$$

$$\frac{n^{2}\pi^{2} \left(v - 1 \right) - \frac{3}{2}}{\alpha^{2}} \left[\frac{v n^{2}\pi^{2}}{\alpha^{2}} \right]$$

THE $\gamma_{1n} = \alpha_{1n} \frac{y}{a}$ is $\gamma_{1n} = \alpha_{2n} \frac{y}{a}$.

ЧСК определяются из уравнения:

если $\beta \leq n^{-\pi^2}$,

$$n = [3 - (2\nu - 1) + n^{4}\pi^{4} (1 - \nu)^{2}] \sinh \mu_{2n} \sinh \mu_{1n} - \alpha_{2n} [3^{2} + (1 - \nu)^{2}] \cosh \mu_{2n} - \alpha_{4n} \alpha_{2n} [3^{2} + (1 - \nu)^{2}] \cosh \mu_{2n} - \alpha_{4n} \alpha_{2n} [3^{2} + (1 - \nu)^{2}] = 0;$$
ecan

$$n^{2}\pi^{2} \left[\beta^{2} \left(2v - 1 \right) - n^{4}\pi^{4} \left(1 - v \right)^{2} \right] \sin \mu_{1} \sin \mu_{2n} + \beta^{2} \overline{-n^{4}\pi^{4}}$$

$$\left[\beta^{2} + n^{4}\pi^{4} \left(1 - v \right)^{2} \right] \cos \mu_{1n} \sin \mu_{2n} + \beta^{2} \overline{-n^{4}\pi^{4}} + \left[n^{4}\pi^{4} \left(1 - v \right)^{2} - \beta^{2} \right] = 0.$$

Для оценки применняюсти полученных теоретических результатов в таблице приведены расчетные значения ЧСК и максимальные напряжения (для 1 формы колебаний) и их экспериментальные значения для влектроденгателя типа 4AA63, на базе которого в настоящее время

				Таблиц
Час	ыстога собственных колебания, Ги		Максимальное напряжение, ка см-	
	расчетная	экс эгриментальная	расчениле	эксперние нтальное
	495,2	481	250	290

НИПЭЛЕКТРОМАНИ разрабатывает перспектавную серию машии соответствующей мощности.

Исходные эначения параметров были следующими:

$$\begin{aligned} a=&8,5 \text{ c.u.}; \ b=&2,3 \text{ c.u.}; \ b=&0,7 \text{ c.u.}; \ E=&0,7\cdot 10^{\circ} \ \kappa \epsilon/c.u^{\circ}; \ y=&2,7\cdot 10^{-1} \ \kappa \epsilon/c.u^{3}; \\ v=&0,33; \quad x=&[0; \ 8,5]; \quad y=&[0; \ 2,3]; \quad f=&100 \quad Fu; \quad u=&628 \quad 1/c; \\ D=&44571,9 \text{ ke.c.u.}; \quad K=&-0,132; \quad z_{11}=&0,72; \quad z_{21}=&4,38; \quad y_{11}=&0,19; \\ u_{21}=&1,19; \ A=&1,8781 \ \kappa \epsilon/c.u^{3}. \end{aligned}$$

Полученные формулы также могут быть применены для оценки вебрационной прочности и резонаненых частот опорных оснований всех видов ЭМ малой мощности на сталии их проектирования.

ШИН ЭЛЕКТРОМАШ

Поступило 27 XI.1979-

Հ. դ. ԱՐՏԵՄՅԱՆ, Ա. Ա. ԻՍԿԱՆԳԱՐՅԱՆ

ՓՈՔՔ ՀԶՈՐՈՒԹՅԱՆ ԷԼԵԿՏՐԱԿԱՆ ՄԵՔԵՆԱՆԵՐԻ ՀԵՆԱՐԱՆԱՅԻՆ ՄԱԿԵՐԵՄՆԵՐԻ ԳԻՇԱՄԻԿԱԿԱՆ ԱՄՐՈՒԹՅԱՆ ՀԱՐՑԻ ՄԱՄԻՆ

Underd

են ուղղանկյուն քիքների տնարով, որի մի կողմը ամար րոսները ներկույացված ևն ուղղանկյուն քիքների տնարով, որի մի կողմը ամբան է, հրկուսը ագտուննված են, իսկ լորրորդը ազատ է։ տանվա և բանա և դմիբրացիոն աների ազդեցու յան տակ դանվող հարատ քարվա այն միճակի վահան գնաշատման և մերենալի նախագծման ընկացրում նրա սեփական ատանումների շատանակասությունների հաշվարկման շամար։

հատարվել է մաշվարկային և փոր<mark>ձնական արդյուն</mark>քների համեմատում։

ЛИТЕРАТУРА

- 1. Филиппов 1. П. Колебания деформируемых систем. М., «Машиностроевне», 1921
- 2. Тимошенко С. П. Колебания в инженерном деле. М., Физматсиа, 1959.
- 3 Гонгкавич В. С. Собственные колебания пластии и оболочек, Кнев, изд. «Науки думка», 1964.
- 4. Стретт Дж. В. (Лорд Рэдей). Теория звука. Т. 1, М. Гостехилдат, 1955-